

Starkniederschlagshöhen und -spenden gemäß KOSTRA-DWD-2020

Rasterfeld 88127

(Zeile 88, Spalte 127)

Regenspende und Bemessungsniederschlagswerte in Abhängigkeit von Wiederkehrzeit T und Dauerstufe D

| Dauerstufe D | | Wiederkehrzeit T | | | | | | | | | | | | | | | | | |
|--------------|-----|------------------|------------|------|------------|------|------------|------|------------|------|------------|-------|------------|-------|------------|-------|------------|-------|------------|
| | | 1 a | | 2 a | | 3 a | | 5 a | | 10 a | | 20 a | | 30 a | | 50 a | | 100 a | |
| min | Std | mm | l / (s ha) | mm | l / (s ha) | mm | l / (s ha) | mm | l / (s ha) | mm | l / (s ha) | mm | l / (s ha) | mm | l / (s ha) | mm | l / (s ha) | mm | l / (s ha) |
| 5 | | 6,8 | 226,7 | 8,2 | 273,3 | 9,0 | 300,0 | 10,2 | 340,0 | 11,8 | 393,3 | 13,5 | 450,0 | 14,6 | 486,7 | 16,0 | 533,3 | 18,1 | 603,3 |
| 10 | | 8,6 | 143,3 | 10,4 | 173,3 | 11,5 | 191,7 | 12,9 | 215,0 | 15,0 | 250,0 | 17,1 | 285,0 | 18,5 | 308,3 | 20,4 | 340,0 | 23,0 | 383,3 |
| 15 | | 9,8 | 108,9 | 11,8 | 131,1 | 13,0 | 144,4 | 14,7 | 163,3 | 17,0 | 188,9 | 19,4 | 215,6 | 21,0 | 233,3 | 23,1 | 256,7 | 26,0 | 288,9 |
| 20 | | 10,6 | 88,3 | 12,8 | 106,7 | 14,2 | 118,3 | 15,9 | 132,5 | 18,5 | 154,2 | 21,1 | 175,8 | 22,8 | 190,0 | 25,1 | 209,2 | 28,3 | 235,8 |
| 30 | | 11,9 | 66,1 | 14,4 | 80,0 | 15,9 | 88,3 | 17,9 | 99,4 | 20,7 | 115,0 | 23,7 | 131,7 | 25,6 | 142,2 | 28,1 | 156,1 | 31,7 | 176,1 |
| 45 | | 13,3 | 49,3 | 16,0 | 59,3 | 17,7 | 65,6 | 19,9 | 73,7 | 23,1 | 85,6 | 26,4 | 97,8 | 28,5 | 105,6 | 31,4 | 116,3 | 35,4 | 131,1 |
| 60 | 1 | 14,4 | 40,0 | 17,3 | 48,1 | 19,1 | 53,1 | 21,5 | 59,7 | 24,9 | 69,2 | 28,5 | 79,2 | 30,8 | 85,6 | 33,8 | 93,9 | 38,2 | 106,1 |
| 90 | 1,5 | 16,0 | 29,6 | 19,2 | 35,6 | 21,2 | 39,3 | 23,9 | 44,3 | 27,7 | 51,3 | 31,6 | 58,5 | 34,2 | 63,3 | 37,6 | 69,6 | 42,4 | 78,5 |
| 120 | 2 | 17,2 | 23,9 | 20,7 | 28,8 | 22,9 | 31,8 | 25,7 | 35,7 | 29,8 | 41,4 | 34,1 | 47,4 | 36,8 | 51,1 | 40,5 | 56,3 | 45,7 | 63,5 |
| 180 | 3 | 19,0 | 17,6 | 22,9 | 21,2 | 25,3 | 23,4 | 28,5 | 26,4 | 33,1 | 30,6 | 37,8 | 35,0 | 40,8 | 37,8 | 44,9 | 41,6 | 50,7 | 46,9 |
| 240 | 4 | 20,5 | 14,2 | 24,7 | 17,2 | 27,3 | 19,0 | 30,7 | 21,3 | 35,6 | 24,7 | 40,6 | 28,2 | 43,9 | 30,5 | 48,3 | 33,5 | 54,5 | 37,8 |
| 360 | 6 | 22,7 | 10,5 | 27,3 | 12,6 | 30,2 | 14,0 | 33,9 | 15,7 | 39,4 | 18,2 | 45,0 | 20,8 | 48,6 | 22,5 | 53,4 | 24,7 | 60,3 | 27,9 |
| 540 | 9 | 25,1 | 7,7 | 30,2 | 9,3 | 33,4 | 10,3 | 37,6 | 11,6 | 43,6 | 13,5 | 49,8 | 15,4 | 53,9 | 16,6 | 59,2 | 18,3 | 66,8 | 20,6 |
| 720 | 12 | 27,0 | 6,3 | 32,5 | 7,5 | 35,9 | 8,3 | 40,4 | 9,4 | 46,8 | 10,8 | 53,5 | 12,4 | 57,9 | 13,4 | 63,6 | 14,7 | 71,8 | 16,6 |
| 1080 | 18 | 29,9 | 4,6 | 36,0 | 5,6 | 39,7 | 6,1 | 44,7 | 6,9 | 51,8 | 8,0 | 59,2 | 9,1 | 64,0 | 9,9 | 70,4 | 10,9 | 79,4 | 12,3 |
| 1440 | 24 | 32,1 | 3,7 | 38,6 | 4,5 | 42,7 | 4,9 | 48,0 | 5,6 | 55,7 | 6,4 | 63,6 | 7,4 | 68,8 | 8,0 | 75,6 | 8,8 | 85,3 | 9,9 |
| 2880 | 48 | 38,1 | 2,2 | 45,9 | 2,7 | 50,8 | 2,9 | 57,1 | 3,3 | 66,2 | 3,8 | 75,6 | 4,4 | 81,8 | 4,7 | 89,9 | 5,2 | 101,5 | 5,9 |
| 4320 | 72 | 42,2 | 1,6 | 50,8 | 2,0 | 56,2 | 2,2 | 63,2 | 2,4 | 73,3 | 2,8 | 83,7 | 3,2 | 90,5 | 3,5 | 99,4 | 3,8 | 112,3 | 4,3 |
| 5760 | 96 | 45,3 | 1,3 | 54,6 | 1,6 | 60,3 | 1,7 | 67,9 | 2,0 | 78,7 | 2,3 | 89,9 | 2,6 | 97,2 | 2,8 | 106,8 | 3,1 | 120,6 | 3,5 |
| 7200 | 120 | 47,9 | 1,1 | 57,7 | 1,3 | 63,8 | 1,5 | 71,7 | 1,7 | 83,2 | 1,9 | 95,0 | 2,2 | 102,8 | 2,4 | 112,9 | 2,6 | 127,5 | 3,0 |
| 8640 | 144 | 50,2 | 1,0 | 60,4 | 1,2 | 66,7 | 1,3 | 75,1 | 1,4 | 87,1 | 1,7 | 99,5 | 1,9 | 107,6 | 2,1 | 118,2 | 2,3 | 133,4 | 2,6 |
| 10080 | 168 | 52,1 | 0,9 | 62,8 | 1,0 | 69,4 | 1,1 | 78,0 | 1,3 | 90,5 | 1,5 | 103,4 | 1,7 | 111,8 | 1,8 | 122,8 | 2,0 | 138,6 | 2,3 |

Starkniederschlagshöhen und -spenden gemäß KOSTRA-DWD-2020

Rasterfeld 88127

(Zeile 88, Spalte 127)

Örtliche Unsicherheiten in Abhängigkeit von Wiederkehrzeit T und Dauerstufe D

| Dauerstufe D | | Wiederkehrzeit T | | | | | | | | |
|--------------|-----|------------------|-----|-----|-----|------|------|------|------|-------|
| | | 1 a | 2 a | 3 a | 5 a | 10 a | 20 a | 30 a | 50 a | 100 a |
| min | Std | ± % | ± % | ± % | ± % | ± % | ± % | ± % | ± % | ± % |
| 5 | | 10 | 12 | 13 | 13 | 14 | 15 | 15 | 16 | 17 |
| 10 | | 13 | 15 | 16 | 17 | 18 | 19 | 19 | 20 | 20 |
| 15 | | 14 | 16 | 17 | 18 | 19 | 20 | 21 | 21 | 22 |
| 20 | | 15 | 17 | 18 | 19 | 20 | 21 | 22 | 22 | 23 |
| 30 | | 15 | 17 | 18 | 19 | 21 | 22 | 22 | 23 | 23 |
| 45 | | 15 | 17 | 18 | 19 | 20 | 21 | 22 | 22 | 23 |
| 60 | 1 | 15 | 17 | 18 | 19 | 20 | 21 | 22 | 22 | 23 |
| 90 | 1,5 | 14 | 16 | 17 | 18 | 19 | 20 | 21 | 21 | 22 |
| 120 | 2 | 13 | 15 | 16 | 17 | 18 | 19 | 20 | 21 | 21 |
| 180 | 3 | 12 | 14 | 15 | 16 | 17 | 18 | 19 | 19 | 20 |
| 240 | 4 | 11 | 13 | 14 | 15 | 17 | 17 | 18 | 19 | 19 |
| 360 | 6 | 11 | 12 | 13 | 14 | 15 | 16 | 17 | 17 | 18 |
| 540 | 9 | 10 | 11 | 12 | 13 | 14 | 15 | 16 | 16 | 17 |
| 720 | 12 | 9 | 11 | 12 | 13 | 14 | 15 | 15 | 16 | 16 |
| 1080 | 18 | 9 | 10 | 11 | 12 | 13 | 14 | 14 | 15 | 15 |
| 1440 | 24 | 9 | 10 | 11 | 11 | 12 | 13 | 14 | 14 | 15 |
| 2880 | 48 | 10 | 11 | 11 | 11 | 12 | 12 | 13 | 13 | 14 |
| 4320 | 72 | 12 | 11 | 11 | 12 | 12 | 12 | 13 | 13 | 13 |
| 5760 | 96 | 13 | 12 | 12 | 12 | 12 | 13 | 13 | 13 | 13 |
| 7200 | 120 | 13 | 13 | 12 | 12 | 13 | 13 | 13 | 13 | 13 |
| 8640 | 144 | 14 | 13 | 13 | 13 | 13 | 13 | 13 | 13 | 14 |
| 10080 | 168 | 15 | 14 | 14 | 13 | 13 | 13 | 14 | 14 | 14 |

Parameter für abweichende T und D

Lokationsparameter ξ (Xi)

14,55475733

Skalenparameter α (Alpha)

4,13289487

Formparameter κ (Kappa)

-0,1

1. Koutsoyiannis-Parameter θ (Theta)

0,01738966

2. Koutsoyiannis-Parameter η (Eta)

0,75092621

Parameter für dauerstufenübergreifende Extremwertschätzung nach KOUTSOYIANNIS et al. 1998.

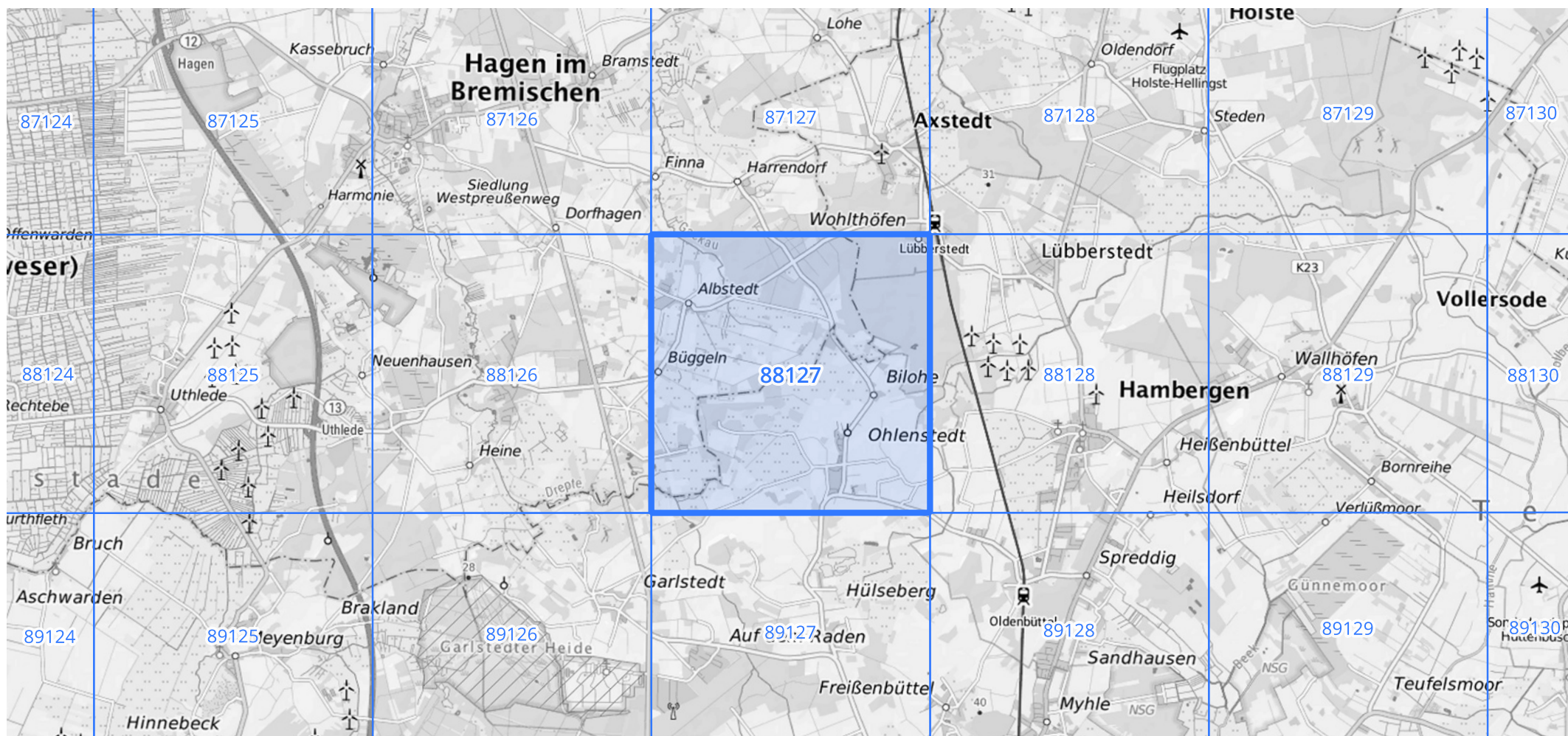
Siehe auch Anwendungshilfe zu KOSTRA-DWD-2020 des Deutschen Wetterdienstes.

Starkniederschlagshöhen und -spenden gemäß KOSTRA-DWD-2020

Rasterfeld 88127

(Zeile 88, Spalte 127)

Übersichtskarte des Rasterfeldes 88127, M 1 : 100 000



Quelle Rasterdaten: KOSTRA-DWD-2020 des Deutschen Wetterdienstes, Stand 12/2022.

Seite 3 von 3

Kartendarstellung: © Bundesamt für Kartographie und Geodäsie (2023), Datenquellen: https://sgx.geodatenzentrum.de/web_public/gdz/datenquellen/Datenquellen_TopPlusOpen.html

Für die Richtigkeit und Aktualität der Angaben wird keine Gewähr übernommen. Erstellt 01/2023.